

บทที่ 1 บทนำ

1.1 ที่มาและความสำคัญของโครงการ

ในรัฐสถานและโภราษฎร์เป็นมรดกวัฒนธรรมที่สำคัญของชาติ ซึ่งประเทศไทยมีอยู่มากนากาย โดยเฉพาะสกุปและองค์พระเจดีย์ จากหลักฐานที่มีอยู่เชื่อว่าประเทศไทยเริ่มสร้างโบราณสถานที่เป็นสกุปและเจดีย์มาตั้งแต่สมัยพระเจ้าสุกนหาราชแห่งอินเดียในช่วงศตวรรษที่ 3 (พ.ศ. 201 - 300) องค์พระเจดีย์ในประเทศไทยส่วนใหญ่จะมีฐานหินแกรนิตใหญ่และสูง โครงสร้างส่วนใหญ่ใช้อิฐเป็นวัสดุก่อสร้างหลักตั้งแต่ในระดับฐานจนถึงยอด ศิลปะโภราษฎร์เหล่านี้เป็นร่องรอยแห่งอารยธรรมที่บ่งบอกถึงวิถีชีวิตและความเป็นมาของบรรพบุรุษชาติไทย ซึ่งสิ่งเหล่านี้เราไม่สามารถที่จะสร้างขึ้นมาใหม่ให้เหมือนเดิมหรือหาสิ่งอื่นมาทดแทนได้

ปัจจุบันโภราษฎร์และโภราษฎร์เหล่านี้กำลังถูกทำลายจากการชำรุดเสื่อมสภาพ เนื่องมาจากผ่านกาลเวลา มาหลายร้อยปีและล้วนแต่ต้องอยู่กับกลางแจ้ง จึงทำให้เกิดการผุกร่อนอย่างรวดเร็ว ทั้งจากการกระทำของธรรมชาติและการกระทำของมนุษย์ สาเหตุหนึ่งที่สำคัญที่ทำให้เกิดการกัดกร่อนตลอดเวลาและทุกสถานที่คือก้าชมลพิษ ซึ่งก้าชมลพิษที่มีบทบาทในการเกิดกระบวนการชำรุดเสื่อมสภาพมากที่สุด ได้แก่ ก้าชชัลเฟอร์ไอกอกไซด์ (SO_2) เมื่อก้าชชัลเฟอร์ไอกอกไซด์ทำปฏิกิริยากับน้ำในอากาศไม่ว่าในรูปของความชื้นหรือน้ำฝนจะเกิดเป็นกรดกำมะถันซึ่งกรดเหล่านี้จะทำปฏิกิริยากับสารประกอบในวัสดุ ทำให้สามารถกัดกร่อนวัสดุได้ทุกชนิด ทั้งนี้ระดับความรุนแรงที่ก่อให้เกิดความเสียหายต่อโภราษฎร์และโภราษฎร์ จะขึ้นอยู่กับความเข้มข้นของกรดกำมะถันและระยะเวลาที่ได้รับหรือสัมผัสก้าชมลพิษ หากได้รับกรดกำมะถันที่มีความเข้มข้นสูงแม้จะได้รับในเวลาสั้นๆ ก็ทำให้เกิดความเสียหายขึ้นได้มาก หรือหากได้รับกรดกำมะถันที่มีความเข้มข้นต่ำ แต่ได้รับสัมผัสเป็นเวลานาน ก็ทำให้เกิดความเสียหายได้มากเช่นกัน

กระบวนการชำรุดเสื่อมสภาพด้วยสาเหตุข้างต้นนี้ มีผลทำให้อิฐซึ่งเป็นวัสดุก่อสร้างหลัก มีความสามารถในการรับกำลังอัดลดลงตามกาลเวลา ด้วยเหตุนี้ จึงต้องมีการศึกษาถูกร่วมรับแรงอัดของอิฐที่เสื่อมสภาพจากกรดกำมะถันซึ่งเป็นปัจจัยหลัก เพื่อนำไปใช้เป็นฐานข้อมูลในการประยุกต์ใช้ในการวางแผนบูรณะซ่อมแซม โภราษฎร์ที่สร้างขึ้นจากอิฐได้ต่อไป แต่ในปัจจุบันนี้ ในประเทศไทยยังไม่มีอุปกรณ์หรือเครื่องมือที่ใช้ทดสอบการกัดกร่อนของอิฐโดยตรง และปฏิกิริยาการกัดกร่อนในสภาพแวดล้อมจริงนั้นเป็นปฏิกิริยาที่เกิดขึ้นช้า อาจนานเป็นเดือน ปี หรือ

helyปี แต่การทดสอบการกัดกร่อนต้องการผลภายในเวลารวดเร็ว เพราะฉะนั้นจึงต้องร่นระยะเวลาของการเกิดการกัดกร่อน โดยการใช้ตัวเร่งปฏิกิริยาหรือการเพิ่มความเข้มข้นของสารกัดกร่อนให้เข้มข้นมากขึ้น

1.2 สรุปสาระสำคัญจากเอกสารที่เกี่ยวข้อง

1.2.1 การสือมสภาพของโบราณสถานและโบราณวัตถุ

ภัคติ [10] ได้ทำการศึกษาหาสาเหตุของการผุกร่อนและการกัดกร่อนของโบราณสถานและโบราณวัตถุ เพื่อใช้ในการอนุรักษ์และบุคคลชั้นการชารุดสือมสภาพของวัตถุ จากการศึกษาพบว่า สาเหตุที่ทำให้โบราณสถานและโบราณวัตถุเกิดการชารุดทรุดโทรมสือมสภาพมาจากการประกอบ 3 กลุ่ม คือ

กลุ่มที่ 1 เกิดจากสิ่งแวดล้อม ปัจจัยที่มีผลต่อการผุกร่อนและกัดกร่อนมากที่สุดคือ น้ำฝน ความชื้น ความร้อน แสงสว่าง ก้าชค่าจๆ ในบรรยายกาศ ฝุ่นละออง เกลือ พืช และชุลินทรีย์

กลุ่มที่ 2 เกิดจากจุดอ่อนในตัววัตถุเอง อุณหภูมิและความสามารถในการดูดและหายความชื้นของตัววัตถุเอง เป็นปัจจัยที่สำคัญของการชารุดทรุดโทรมสือมสภาพ โดยอุณหภูมิและความชื้นที่เปลี่ยนแปลง คง คงความชื้นที่ไม่สม่ำเสมอ ทำให้วัตถุหละลายชนิดมีการหดตัวและขยายตัวสลับกันไปเรื่อยๆ นานๆ เช่นวัตถุจะเกิดการแตกร้าว โก่งงอ บิดเบี้ยว หรือกระเทาะแยกหลุดออกจากกันได้

กลุ่มที่ 3 เกิดจากการกระทำของมนุษย์และสัตว์ มนุษย์เป็นสาเหตุทำให้โบราณสถานและโบราณวัตถุชารุดทรุดโทรมโดยไม่รู้ตัว โดยเกิดจากการสั่นสะเทือนของyanพานะ เครื่องจักร เครื่องยนต์ และอุปกรณ์ที่ใช้ในการก่อสร้าง การระเบิด ฯลฯ ส่วนการกระทำของสัตว์มีความเสียหายไม่แพ้กัน โดยเฉพาะภูมิภาคที่มีอาชีวกร่อนและชื่นเก็บคลอดปีชั่นประเทศไทย สัตว์จำพวกแมลงจึงนิยมหากลางสำคัญที่สุดที่ทำให้โบราณสถานและโบราณวัตถุเกิดการชารุดสือมสภาพ แมลงเหล่านี้มักจะกัดกินเนื้อวัตถุเป็นอาหาร เกิดช่องโหว่รูพรุนฉีกขาดหรือพังทลายได้

จิราภรณ์ [2] ทำการศึกษาหาสาเหตุและกระบวนการที่แท้จริงที่ทำให้อิฐและหินบนโบราณสถานชารุดผุเปื่อย โดยพิจารณาปฎิกริยาระหว่างวัตถุกับสิ่งแวดล้อมเป็นสำคัญ จากการตรวจสอบด้วยวิธีทางวิทยาศาสตร์พบว่า ปรากฏการณ์ที่ทำให้เกิดการผุกร่อนของโบราณสถานนี้ เกิดขึ้นจากเกลือและน้ำ โดยเกลือสามารถทำปฏิกิริยากับโบราณสถานได้อย่างรวดเร็ว โดยเฉพาะเกลือที่ละลายน้ำได้ดี ซึ่งจะแทรกซึมเข้าไปในเนื้อของวัตถุที่มีรูพรุนแล้วสะสมอยู่ในช่องว่างเล็กๆ ภายในเนื้อวัตถุ เมื่อใดที่ความชื้นลดลง น้ำจะระเหยออกไปตรงผิวของวัตถุ เมื่อน้ำที่ผิวนอกสุดระเหยออกไป น้ำจากส่วนที่อยู่ลึกเข้าไปข้างในก็จะเคลื่อนตัวมาแทนที่ น้ำดังกล่าวจะพาเกลือที่

ลักษณะน้ำไดนามิค เมื่อน้ำร้าบเข้าไป เกลือระเหยไม่ได้จึงมีความเข้มข้นสูงขึ้นเรื่อยๆ จนถึงระดับหนึ่งซึ่งเป็นจุดอันดับของสารละลายของเกลือนั้น เกลือจะคงผลึกอยู่ภายในเนื้อวัตถุนั้นๆ การตกผลึกจะเกิดมากตรงพิวของวัตถุที่มีอัตราการระเหยสูง เมื่อใดที่มีความชื้นสูงขึ้นเกลือจะดูดความชื้นแล้วกลายเป็นสารละลายอีก และจะตกผลึกเมื่อความชื้นลดลง เป็นเห็นนี้ซ้ำแล้วซ้ำเล่า ตลอดเวลา ผลึกเกลือจะมีปริมาตรเพิ่มขึ้นทีละน้อยๆ จนในที่สุดจะขยายขนาดดันซ่องว่าและรูรุนภัยในเนื้อวัตถุแตกออก โดยเกลือเหล่านี้มีแหล่งที่มาจากการเกลือที่เป็นองค์ประกอบของคินเอง เกลือที่มาจากการน้ำไดคิน เกลือที่มีอยู่ในเนื้อวัตถุ และเกลือที่มาจากการสั่นแวดล้อม โดยเฉพาะก๊าซมลพิษ ก๊าซที่มีบทบาทสำคัญในกระบวนการเสื่อมสภาพของโบราณสถาน ได้แก่ ก๊าซซัลเฟอร์ไดออกไซด์ นั่นคือ เมื่อทำปฏิกิริยากับน้ำในอากาศจะกลายเป็นกรดกำมะถันหรือกรดซัลฟูริก (H_2SO_4) เมื่อทำปฏิกิริยากับวัตถุโดยเฉพาะที่มีสารประกอบคาร์บอนเนตจะกลายเป็นเกลือซัลเฟต ซึ่งการเปลี่ยนแปลงนี้สำคัญมากในการเสื่อมสภาพของวัตถุ ปฏิกิริยานี้เกิดขึ้นได้ตลอดเวลาตามราศีที่มีก๊าซซัลเฟอร์ไดออกไซด์ปะปนอยู่ในอากาศ และปฏิกิริยานี้จะทวีความรุนแรงในที่ที่มีก๊าซซัลเฟอร์ไดออกไซด์ปะปนอยู่มาก แม้ในอากาศที่บริสุทธิ์ก็มีก๊าซเหล่านี้อยู่ แต่มีเพียงเล็กน้อย ปฏิกิริยาจะยังคงเกิดอย่างช้าๆ ทีละน้อยๆ อย่างต่อเนื่อง เมื่อเวลาผ่านไปนานเข้าวัตถุจะสึกกร่อนและปรินามเกลือจะสูงขึ้นเรื่อยๆ

Kuchitsu et al., [28] ได้ทำการศึกษาการเกิดเกลือในอิฐที่ทำให้โบราณสถานเกิดความชำรุดเสียหายตามสภาพอากาศของจังหวัดอุธยา ทำการทดสอบโดยใช้อิฐที่จังหวัดอุธยาคือเป็นเตาสีเหลืองจุดร้อนขนาด 35×35 ซม. สูง 1 ม. จำนวน 2 ตัวอย่าง โดยที่เส่าตัวอย่างแรกทำการฉาบปูนปิดผิวน้ำของอิฐทั้งหมด ส่วนเส่าตัวอย่างที่สองไม่ได้ฉาบปูนปิดผิวน้ำของอิฐ จากนั้นปล่อยเส่าตัวอย่างทั้งสองให้สัมผัสสภาพอากาศตามฤดูกาลของจังหวัดอุธยา จากการศึกษาพบว่าเส่าตัวอย่างแรกมีความชื้นมากกว่า และในฤดูหนาวจะเกิดเกลือในเส่าตัวอย่างที่ไม่ได้ฉาบปูนมากกว่าอย่างชัดเจน จากการตรวจสอบสารประกอบในอิฐด้วยเครื่อง XRD (ตาราง 1.1) พบว่ามีสารประกอบที่เป็นเกลือเกิดมากในฤดูที่ไม่มีฝน และยังได้ทำการสังเกตบริเวณกำแพงของโบราณสถานที่จังหวัดอุธยาพบว่า ช่วงสิ้นฤดูหนาวกำแพงของโบราณสถานยังไม่เกิดเกลือขึ้น แต่หลังจากนั้น 1 อาทิตย์ เมื่อเริ่มเข้าต้นหน้าร้อนจะสังเกตเห็นเกลือจำนวนมากเกาะอยู่ที่อิฐ ซึ่งจากการสังเกตและจากการทดลองสามารถสรุปได้ว่า ความเสียหายของอิฐก่อขึ้นจากโบราณสถานที่เกิดจาก การกัดกร่อนของเกลือในจังหวัดอุธยาจะเกิดเป็นคุณภาพของเริ่มเกิดความเสียหายเมื่อเริ่มเข้าหน้าหนาวจนกระทั่งถึงหน้าฝน และโบราณสถานบริเวณที่ฉาบปูนยังมีความสมบูรณ์ อิฐก่อจะไม่เกิดความเสียหายจากการกัดกร่อนของเกลือ

ตาราง 1.1 เกลือในผิวสัมผัสสภาพอากาศตามฤดูกาลของจังหวัดอุบลฯ [28]

Sample	Main component minerals
Red brick	Quartz (SiO_2), pyroxene ($(\text{Ca}, \text{Mg}, \text{Fe})_2\text{Si}_2\text{O}_6$), feldspar ($((\text{K}, \text{Na}), \text{Ca})(\text{Al}, \text{Si})_2\text{Si}_2\text{O}_6$)
Black brick	Quartz (SiO_2), cristobalite (SiO_2), mullite ($\text{Al}_2(\text{Al}, \text{Si})_4\text{O}_{10}$)
Mortar	Calcite (CaCO_3), quartz (SiO_2)
Salts of the dry season	Thenardite (Na_2SO_4), halite (NaCl), darapskite ($\text{Na}_3(\text{NO}_3)(\text{SO}_4) \cdot \text{H}_2\text{O}$), eugsterite ($\text{Na}_4\text{Ca}(\text{SO}_4)_3 \cdot 2\text{H}_2\text{O}$), konyaite ($\text{Na}_2\text{Mg}(\text{SO}_4)_2 \cdot 5\text{H}_2\text{O}$), wattevilleite ($\text{Na}_2\text{Ca}(\text{SO}_4)_2 \cdot 4\text{H}_2\text{O}$), bloedite ($\text{Na}_2\text{Mg}(\text{SO}_4)_2 \cdot 4\text{H}_2\text{O}$), gypsum ($\text{CaSO}_4 \cdot 2\text{H}_2\text{O}$), calcite (CaCO_3)
Salts of the rainy season	Gypsum ($\text{CaSO}_4 \cdot 2\text{H}_2\text{O}$), calcite (CaCO_3)

1.2.2 ผลกระทบของก้าชชัลเฟอร์ไคลอโคไซด์และกรรมกำมะถันต่อวัสดุ

พัชร์วิໄ [8] ได้ทำการศึกษาการกัดกร่อนและสร้างสมการที่ใช้ในการคาดคะเนการกัดกร่อนของวัสดุ 4 ชนิด ได้แก่ อิฐเก่า อิฐปั้นจุบัน ปูนปืนเก่า และปูนปืนปั้นปั้งจุบัน โดยทำการอุดแบบและพัฒนาเครื่องมือเพื่อสร้างภาวะสมมติในการทดสอบการกัดกร่อนแบบเร่ง โดยให้วัสดุสัมผัส ก้าชชัลเฟอร์ไคลอโคไซด์ที่ความเข้มข้นต่างๆ 5 ความเข้มข้น ได้แก่ 50, 100, 200, 400 และ 800 ส่วน ในล้านส่วน เป็นเวลา 10 วินาที ที่อุณหภูมิ 29.5 ± 2 องศาเซลเซียส และที่ความชื้นสัมพัทธ์ 65 ± 10 เปอร์เซ็นต์ ใช้ตัวอย่างทดสอบของวัสดุทั้ง 4 ชนิดขนาด $2.5 \times 2.5 \times 2.5$ เซนติเมตร แล้วทำการศึกษาการกัดกร่อนที่เกิดขึ้น ได้แก่ ศึกษาลักษณะพื้นผิวของวัสดุด้วยกล้องจุลทรรศน์ อิเลคโทรนแบบส่องกล้อง ตรวจสอบองค์ประกอบภายในด้วยเครื่องวิเคราะห์โครงสร้างด้วยเทคนิคเลี้ยวเบนของรังสีเอกซ์ และทำการหนานำหนักที่หายไป เพื่อนำไปคำนวณอัตราการกัดกร่อน จากผลการทดลองพบว่าหลังสัมผัสก้าชชัลเฟอร์ไคลอโคไซด์มีเกลือชัลเฟตเกิดขึ้นบนวัสดุ และวัสดุมีน้ำหนักหายไป โดยอัตราการกัดกร่อนขึ้นอยู่กับความเข้มข้นของก้าชชัลเฟอร์ไคลอโคไซด์, เวลา ในการสัมผัส และ ชนิดของวัสดุ ซึ่งวัสดุที่สัมผัสก้าชชัลเฟอร์ไคลอโคไซด์ที่มีความเข้มข้นสูง จะเกิดการกัดกร่อนสูง โดยวัสดุที่เกิดการกัดกร่อนมากที่สุด ได้แก่ ปูนปืนเก่า, ปูนปืนปั้นปั้งจุบัน, อิฐเก่า และ อิฐปั้นจุบัน ตามลำดับ และระยะเวลาที่สัมผัสก้าชชัลเฟอร์ไคลอโคไซด์ยิ่งนานก็ยิ่งเกิดการกัดกันเพิ่มมากขึ้นเรื่อยๆ สามารถสรุปเป็นสมการได้ดังนี้

$$\text{อิฐเก่า} \quad \text{C.T.} = (2.798 \times 10^{-3}) + (9.419 \times 10^{-5})\text{C} + (2.973 \times 10^{-3})\text{T}$$

$$\text{อิฐปั้นจุบัน} \quad \text{C.T.} = (3.238 \times 10^{-3}) + (2.055 \times 10^{-5})\text{C} + (4.427 \times 10^{-4})\text{T}$$

$$\text{ปูนปืนเก่า} \quad \text{C.T.} = (-1.080 \times 10^{-2}) + (7.720 \times 10^{-4})\text{C} + (5.590 \times 10^{-2})\text{T}$$

$$\text{ปูนปืนปั้นปั้งจุบัน} \quad \text{C.T.} = (-6.501 \times 10^{-3}) + (5.059 \times 10^{-4})\text{C} + (2.205 \times 10^{-2})\text{T}$$

โดยที่ C.T. คือ อัตราการกัดกร่อน, เปอร์เซนต์
 C คือ ความเข้มข้นของก๊าซซัลเฟอร์ไดออกไซด์, ส่วนในล้านส่วน
 T คือ เวลา, วินาที

ฟองจันทร์ [9] ทำการศึกษาดึงผลกระบวนการบ deinactivation และถ้าถ่านหินที่ได้จาก การแยกขนาดและถ้าถ่านหินหยานบคละเอียดในส่วนผสมมอร์ตาร์ต่อการกัดกร่อนของสารละลาย ครดกำมะถันที่มีค่าความเข้มข้นแตกต่างกัน โดยใช้ถ้าถ่านหินจากโรงไฟฟ้าเม้มะที่ผ่านการ ปรับปรุงความละเอียด โดยการคัดแยกขนาดและการบดละเอียดจำนวน 5 ขนาดแทนที่ปูนซีเมนต์ใน ส่วนผสมมอร์ตาร์ด้วยอัตราส่วนร้อยละ 0, 20, 35 และ 50 โดยน้ำหนัก และประอัตราส่วนของวัสดุ ประสาน (ปูนซีเมนต์กับถ้าถ่านหิน) ต่อทรายที่ 1:1.75, 1:2.75 และ 1:3.75 ทำการหล่ออมมอร์ตาร์รูป ลูกบาศก์มาตรฐานขนาด $50 \times 50 \times 50$ มม. ที่มีค่าการไหลอยู่ระหว่าง 105 ถึง 115 และทดสอบที่ อายุ 1 วัน จากนั้นนำไปบ่มในน้ำปูนขาวอีกตัวเป็นเวลา 28 วัน โดยแบ่ง ตัวอย่างทดสอบออกเป็น สองกลุ่ม กลุ่มแรกทดสอบคำลังอัดที่อายุ 28 วัน และกลุ่มที่สองนำไปแข็งในสารละลายครดกำมะถัน ที่มีความเข้มข้นร้อยละ 3, 0.2 และ 0.02 โดยน้ำหนักซึ่งเทียบเท่ากับระดับ pH ที่ 0.5, 1.5 และ 2.5 ตามลำดับ เพื่อศึกษาน้ำหนักที่สูญเสียของมอร์ตาร์อันเนื่องมาจากการกัดกร่อนของครดกำมะถันที่ แข็งในสารละลายเป็นเวลา 1, 3, 7, 14, 28, 60 และ 90 วัน ตามลำดับ

ผลการศึกษาพบว่าถ้าถ่านหินที่ผ่านการปรับปรุงคุณภาพให้มีขนาดละเอียดจะให้กำลังอัด ที่อายุ 28 วัน สูงกว่ามอร์ตาร์มาตรฐานในบางอัตราส่วนผสม และคำลังอัดมีค่าเพิ่มขึ้นตามปริมาณ วัสดุประสานที่เพิ่มขึ้น แต่คำลังอัดมีแนวโน้มลดลงเมื่อเพิ่มอัตราส่วนการแทนที่ด้วยถ้าถ่านหิน

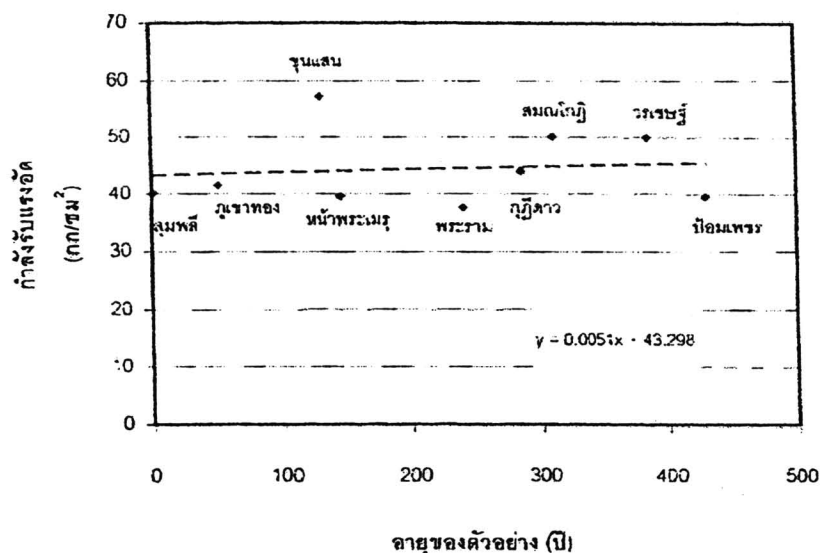
การกัดกร่อนพบว่ามีการสูญเสียน้ำหนักมากขึ้นตามความเข้มข้นของครดที่สูงขึ้น แต่มี ลักษณะการกัดกร่อนในแต่ละอัตราส่วนที่แตกต่างกัน โดยพบว่าการลดปริมาณวัสดุประสาน ประกอบกับการเพิ่มอัตราส่วนการแทนที่ปูนซีเมนต์ด้วยถ้าถ่านหินสามารถลดการกัดกร่อนอย่าง รุนแรงของสารละลายครดเข้มข้นสูงได้เป็นอย่างดี

ประชุม [7] ศึกษาการถูกกัดกร่อนของมอร์ตาร์ที่ใช้หินฝุ่นแทนทรายและมอร์ตาร์ที่ใช้ทราย เนื่องจากสารละลายครดกำมะถัน โดยใช้หินฝุ่นแทนทรายร้อยละ 100 โดยน้ำหนัก และอัตราส่วน น้ำดื่มน้ำซีเมนต์ เท่ากับ 0.45 นำตัวอย่างมอร์ตาร์บ่มในน้ำ 28 วัน และแข็งในสารละลายครดกำมะถัน ความเข้มข้นร้อยละ 3 โดยน้ำหนัก ผลการทดสอบพบว่า มอร์ตาร์ที่ใช้หินฝุ่นแทนทรายสามารถ ต้านทานการกัดกร่อน ได้ดีกว่ามอร์ตาร์ปกติ

1.2.3 สมบัติของอิฐโนร้ามและอิฐดินเผา

สุคชาย [14] ได้ทำการศึกษาถึงความสามารถในการรับแรงของอิฐโนร้ามและอิฐที่ใช้ในการบูรณะโนร้ามสถาน โดยใช้ตัวอย่างทดสอบจำนวน 9 แห่ง เป็นอิฐโนร้ามที่เก็บตัวอย่างมาจากแหล่งโนร้ามสถานในเขตจังหวัดพระนครศรีอยุธยา 8 แห่ง อิฐที่มีการผลิตในปัจจุบันที่บ้านลุมพลี จังหวัดพระนครศรี อยุธยา 1 แห่ง และนำผลการทดสอบไปวิเคราะห์โครงสร้างสร้างเจดีย์ประisan โนร้ามสถานวัดกุฎិคារเป็นกรณีศึกษา จากการทดสอบและการวิเคราะห์โครงสร้างสรุปได้ว่า

1. กำลังรับแรงอัดและโมดูลัสยืดหยุ่นของอิฐตัวอย่างขนาดประมาณ $5 \times 5 \times 5$ เซนติเมตร ทั้ง 9 แห่ง มีค่าใกล้เคียงกัน โดยที่กำลังรับแรงอัดที่ไม่เกี่ยวข้องกับความลึกจากผิวน้ำของอิฐนี้ ค่าเฉลี่ยในระดับ 43 ถึง 46 กก./ตร.ซม. ซึ่งไม่ขึ้นกับเวลาดังรูป 1.1 และโมดูลัสยืดหยุ่นมีค่าเฉลี่ยระหว่าง 32,000 ถึง 35,000 กก./ตร.ซม. นอกจากนี้ จากการเปรียบเทียบคุณสมบัติทางวิศวกรรม ของอิฐที่มีอายุตั้งแต่ 1 ถึง 430 ปี พบร่วมอิฐก่อภายนอกในมีคุณสมบัติต่อเนื่องคงที่ แต่อิฐก่อภายนอกแสดงให้เห็นถึงลักษณะของการเสื่อมสภาพ



รูป 1.1 ความสัมพันธ์ระหว่างอายุและกำลังรับแรงอัดของอิฐจากแหล่งต่างๆ ในเขตจังหวัด

พระนครศรีอยุธยา

ที่มา : สุคชาย [14]

2. การวิเคราะห์โครงสร้างเจดีย์ประisan ของวัดกุฎិคារ เพื่อศึกษาถึงการกระจายหน่วยแรงเนื่องจากน้ำหนักขององค์เจดีย์ในกรณีที่ไม่มีการต่อเติมองค์รัมพังและปล่องไจน พบร่วมกันว่าหน่วยแรงที่เกิดขึ้นกับองค์เจดีย์ทั้งหน่วยแรงในแนวตั้งและหน่วยแรงในแนวราบเป็นหน่วยแรงอัดโดยมีหน่วยแรงอัดสูงสุดบริเวณฐาน และหน่วยแรงอัดที่เกิดขึ้นมีค่าไม่เกินกำลังรับแรงอัดของอิฐ

3. เมื่อต่อเติมโครงสร้างส่วนบนขององค์เจคิย์ตามรูปแบบสันนิษฐาน พนว่าหน่วยแรงที่เกิดขึ้นในแนวคิ่งเป็นหน่วยแรงอัค มีค่าสูงสุดบริเวณฐานแตะไม่เกินกำลังรับแรงอัคของอิฐ แต่จะเกิดหน่วยแรงดึงในแนวราบบริเวณส่วนบนที่ต่อเติมและบริเวณฐาน หน่วยแรงดึงที่เกิดมีขนาดไม่นานัก แต่อาจทำให้องค์เจคิย์เริ่มแตกร้าว โดยเฉพาะบริเวณตำแหน่งรอยต่อระหว่างอิฐกับปูนก่อ

รศักดิ์ [11] ได้วิเคราะห์ถึงหน่วยแรงที่เกิดขึ้นของเจคิย์ในรัมสถานเนื่องจากคลื่นความสั่นสะเทือนของการจราจรบริเวณใกล้เคียงกับองค์พระปูนเจคิย์ โดยทำการวิเคราะห์องค์พระปูนเจคิย์ที่จังหวัดนครปูน จากการนำเอาชิ้นส่วนก้อนอิฐและปูนประสานมาทดสอบในห้องปฏิบัติการ พนว่าคุณสมบัติที่สำคัญ คือ กำลังอัคประดิษฐ์ของก้อนอิฐและปูนประสาน มีค่าประมาณ 60 และ 25 กก./ตร.ซม. ตามลำดับ และนำมาใช้คำนวณหากำลังอัคประดิษฐ์ของวัสดุก่อโดยรวมของก้อนอิฐและปูนประสาน (ตามข้อกำหนด BS CODE 5628, 1978) จะได้ค่ากำลังอัคประดิษฐ์เท่ากับ 28.21 กก./ตร.ซม. โดยคุณลักษณะที่น่าสนใจจะเป็นค่าที่เท่ากับ 28,210 กก./ตร.ซม. คุณสมบัติ Poisson's Ratio เท่ากับ 0.216 และน้ำหนักจำเพาะได้ค่าเท่ากับ 1,760 กก./ตร.ซม. ผลจากการวิเคราะห์ไฟในท่ออลิเมนต์ทางพลาสติกสามารถสรุปได้ว่า การสั่นสะเทือนที่เกิดจากการจราจรบริเวณใกล้เคียงกับองค์พระปูนเจคิย์ ไม่มีผลที่เป็นนัยสำคัญต่อความมั่นคงขององค์พระปูนเจคิย์ คือจะไม่เป็นเหตุทำให้องค์พระปูนเจคิย์เกิดการวินาศิริโดยฉับพลันได้ แต่แรงดึงที่เกิดขึ้นจากการโยกตัวของปล่องไวนน์นี้จากการสั่นสะเทือน อาจเป็นสาเหตุทำให้จุดอ่อนบริเวณปล่องไวนน์เกิดการแตกร้าวของปูนประสานเพิ่มมากขึ้นมากกว่าที่เป็นอยู่ในปัจจุบัน และสามารถขยายตัวไปบริเวณใกล้เคียงจนทำให้อายุขององค์พระปูนเจคิย์สั้นลงเรื่อยๆ

อดิศัย [15] ได้ทำการศึกษาถึงคุณสมบัติพื้นฐานทางพลาสติกและคุณสมบัติวัสดุของโครงสร้างโบราณสถาน โดยใช้ข้อมูลทางการศึกษาจากเจคิย์วัสดุที่ใช้ในการบูรณะองค์เจคิย์ รูปร่างสัมฐานขององค์เจคิย์ ซึ่งนำอิฐก่อที่ใช้ในการบูรณะโบราณสถานมาทำการทดสอบจำนวน 5 ตัวอย่าง จากการทดสอบได้ค่าคุณสมบัติโดยเฉลี่ยของทุกตัวอย่างดังต่อไปนี้

โมดูลัส弹性模量	=	30,800	กก./ซม. ²
กำลังรับแรงอัค	=	40	กก./ซม. ²
อัตราส่วนปีวของ	=	0.21	
โมดูลัสของแรงเฉือน	=	12,727.27	กก./ซม. ²

จากการวิเคราะห์โครงสร้างทางพลาสติกโดยวิธีไฟในท่ออลิเมนต์ ด้วยโปรแกรมไฟในท่ออลิเมนต์ พนว่าค่าความถี่ธรรมชาติในรูปแบบการสั่นไหวด้านข้างที่หนึ่ง มีค่า 1.7595 Hz.

Gumaste et al., [23] ทำการทดสอบหากำลังอัคและโมดูลัสยีคหยุ่นของปริซึมอิฐก่อและกำแพงอิฐก่อ โดยสร้างสมการประมาณค่าจากกำลังรับแรงอัดของก้อนอิฐกันมอร์ตาร์ อิฐที่ใช้ในการทดสอบมี 2 ชนิด คือ Table Moulded Bricks ขนาด $228 \times 108 \times 75$ มม. และ Wire-Cut Bricks ขนาด $235 \times 111 \times 75.5$ มม. ของประเภทอินเดีย ประสานรวมกันมอร์ตาร์ 5 สูตร โดยก่อเป็นปริซึมแบบ Stack Bonded, English Bonded และก่อเป็นกำแพงแบบ Stretcher Bonded, English Bonded เมื่อทำการทดสอบ พนว่าค่าโมดูลัสยีคหยุ่นของอิฐทั้ง 2 ชนิดมีค่าดังตาราง 1.2

ตาราง 1.2 โมดูลัสยีคหยุ่นของปริซึมอิฐก่อและกำแพงอิฐก่อ [23]

ชนิดของอิฐ	โมดูลัสยีคหยุ่นของปริซึมอิฐก่อ	โมดูลัสยีคหยุ่นของกำแพงอิฐก่อ
Table Moulded Bricks	345 – 467 MPa.	260 – 735 MPa.
Wire-Cut Bricks	2393 – 3789 MPa.	4824 – 5232 MPa.

ค่ากำลังอัคของปริซึมอิฐก่อเป็นไปตามสมการดังนี้

$$\text{Stack Bonded Prism} \quad f = 0.317(f_b)^{0.866}(f_m)^{0.134}$$

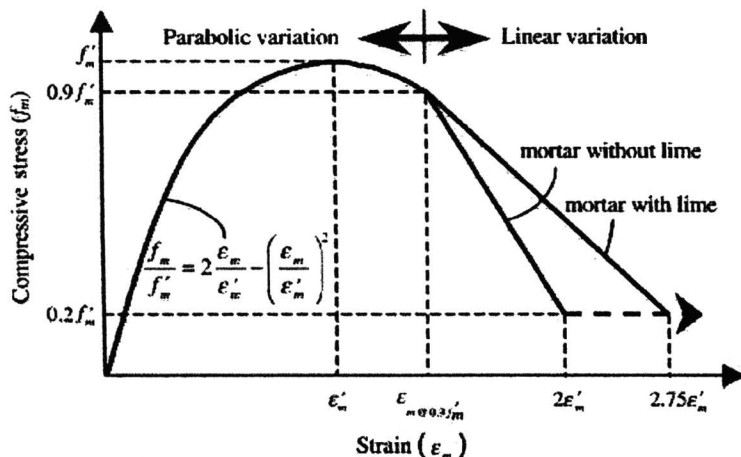
$$\text{English Bonded Prism} \quad f = 0.317(f_b)^{0.866}(f_m)^{0.134}$$

โดยที่ f คือ กำลังอัคสูงสุดของปริซึมอิฐก่อ

f_m คือ กำลังอัคของอิฐ

f_b คือ กำลังอัคของมอร์ตาร์

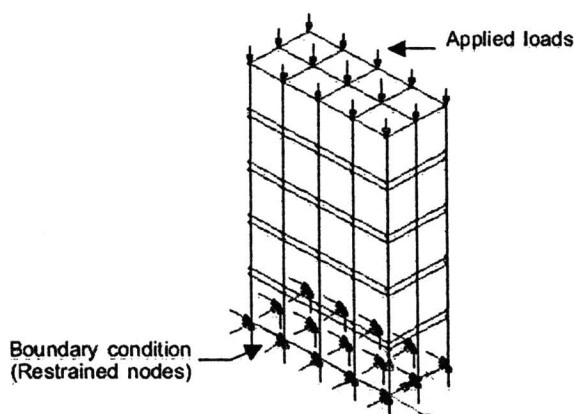
Kaushik et al., [27] ทำการศึกษาและจำลองความสัมพันธ์ Stress – Strain ของอิฐก่อคินเพาเวอร์ไดเรงอัคตามแนวแกน จำนวน 84 ตัวอย่าง โดยใช้อิฐคินเพาจาก 4 โรงงาน ขนาดอิฐยาว 210 มม. กว้าง 110 มม. สูง 75 มม. ก่อเป็นปริซึมแบบ Stack Bonded ประสานรวมกันมอร์ตาร์ 3 สูตรที่มีความหนา 10 มม. ผลการศึกษาพบว่าความสัมพันธ์ Stress – Strain มีจุดควบคุมอยู่ 6 จุด แต่เพื่อทำให้ร่างขึ้นสามารถจำลองเป็นแบบ Tri-Linear Stress-strain ได้ดังรูป 1.2



รูป 1.2 ความสัมพันธ์ระหว่างความเห็นกับความเครียดของอิฐก่อ

ที่มา : Kaushik et al., [27]

Bakhteri et al., [19] ได้วิเคราะห์ปริซึมอิฐก่อคิดน้ำภายในตัวอย่างโดยใช้ วิธีไฟไนท์อิลิเมนต์ อิฐที่ใช้วิเคราะห์มีขนาดยาว 212 มม. กว้าง 92 มม. สูง 66 มม. จำลองโดยการ กำหนดความหนาของน้ำในร่องตัวอย่างเป็น 5 ขนาด คือ 7.5, 10, 12.5, 15 และ 20 มม. ทำการแบ่งปริซึม ออกเป็น 72 อิลิเมนต์ การขัดป้ายด้านล่างของปริซึมจะขัดทุกแกน ส่วนแรงกดตามแนวแกน จะ ใช้แรงกดสูงสุดที่ได้จากการทดสอบจริง ใส่ค่าเฉพาะโหนดที่อยู่ด้านบนสุด ดังรูป 1.3

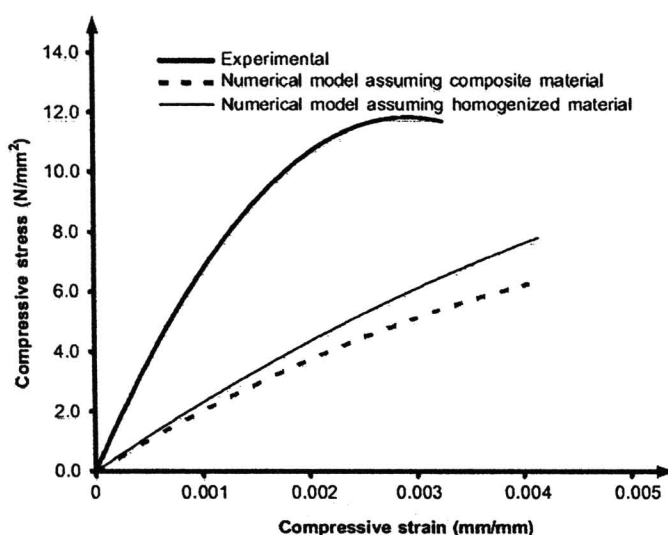


รูป 1.3 รูปแบบการใส่แรงและเงื่อนไขที่จุกรองรับในการวิเคราะห์ปริซึมอิฐก่อ

ที่มา : Bakhteri et al., [19]

การวิเคราะห์จะทำการเปรียบเทียบกำลังรับแรงอัดสูงสุดของปริซึมที่มีคุณสมบัติของ วัสดุ 2 กรณี คือ กรณีที่ 1 กำหนดให้อิฐและน้ำมีคุณสมบัติเป็นเนื้อเดียวกัน และ กรณีที่ 2 ให้อิฐและน้ำมีคุณสมบัติต่างกัน จากผลการศึกษาพบว่า กรณีที่ 1 มีกำลังอัดสูงกว่ากรณีที่ 2

เล็กน้อย แต่ทั้งสองกรณีมีน้อยกว่าผลการทดสอบจริงประมาณ 50% และจากการทดสอบจริงพบว่า ปริซึมที่มีความหนาอร์ต้าร์ 7.5 มม. มีค่ากำลังอัดสูงที่สุด ดังรูป 1.4



รูป 1.4 ความสัมพันธ์ระหว่างความเค้นกับความเครียดของความหนาอร์ต้าร์ 7 มม.

ที่มา : Bakhteri et al., [19]

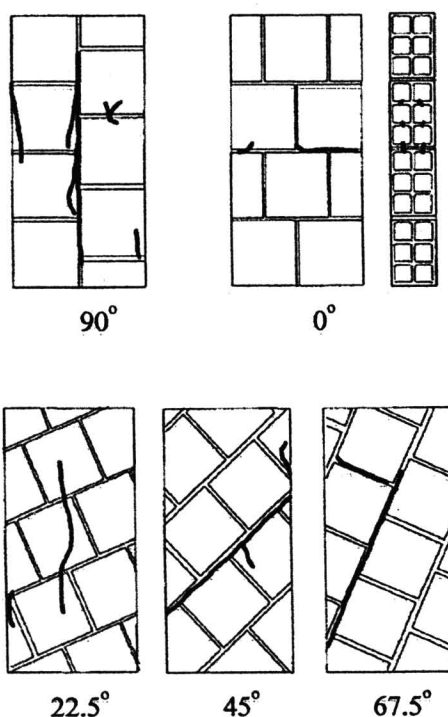
Bennett et al., [20] ทำการศึกษาคุณสมบัติค้านการรับแรงอัดของอิฐก่ออิฐนาชา โดยใช้ อิฐก่อสร้างขนาดกว้าง 0.6 ม. × สูง 1.2 ม. × หนา 200 มม. นำมาทดสอบหาค่ากำลังอัด โดยก่อในแนว ของรอบต่อรอบทั่วทั้งก้อนอิฐทั้มุมต่างๆ คือ $0^\circ, 22.5^\circ, 45^\circ, 67.5^\circ$ และ 90° (รูป 1.5) โดยใช้ห้องอร์ต้าร์ที่ มีส่วนผสมคือ ซิเมนต์อร์ต้าร์ และทราย อิฐก่ออิฐมีความหนาแน่น 860 กก./คบ.ม. จากการทดสอบ ได้ค่ากำลังอัดของอิฐดังตาราง 1.3

ตาราง 1.3 กำลังรับแรงอัดของปริซึมอิฐก่ออิฐทั่วทั้งๆ [20]

Angle with respect to horizontal ($^\circ$)	Number of prisms	Prisms Strength (MPa.)	
		Mean	COV (%)
0	7	5.58	8
22.5	3	3.65	17
45	3	1.82	23
67.5	3	0.99	43
90	7	3.01	23

Note : COV = Coefficient of variation

จากการศึกษาข้อมูลพบว่า เมื่ออิฐก่อทำมุนมากขึ้น ค่ากำลังอัดก็จะลดลงเรื่อยๆ แต่จะเพิ่มขึ้นเล็กน้อยที่มุน 90° เหตุที่เป็นเช่นนี้ เพราะว่า มุนที่อิฐมากขึ้น ทำให้ปริซึมอิฐก่อมีโอกาสที่จะวิบัติทันท์ตัวมากกว่าก้อนอิฐ ดังรูป 1.5



รูป 1.5 รูปแบบของอิฐก่อทำมุน

ที่มา : Bennett et al., [20]

1.3 วัตถุประสงค์ของการวิจัย

1.3.1 เพื่อทำนายการเสื่อมสภาพของอิฐคินเพาตามระยะเวลาจริงของธรรมชาติ ที่ถูกทำลายด้วยกรดกำมะถันซึ่งเป็นปัจจัยหลัก โดยพิจารณาค่ากำลังอัดและอัตราการกัดกร่อน

1.3.2 เพื่อศึกษาความสัมพันธ์ระหว่างความลึกจากผิวน้ำและการเสื่อมสภาพของอิฐคินเพา ที่ถูกทำลายด้วยกรดกำมะถันซึ่งเป็นปัจจัยหลัก

1.4 ประโยชน์ที่จะได้รับจากการศึกษา

1.4.1 ข้อมูลเชิงปริมาณที่ได้จากการทำนายการเสื่อมสภาพของอิฐคินเพา สามารถนำไปประยุกต์ใช้ในการวางแผนบูรณะซ่อมแซมโบราณสถานที่สร้างขึ้นจากอิฐคินเพาได้

1.4.2 สามารถใช้ค่ากำลังอัดของวัสดุที่เสื่อมสภาพมาเป็นข้อมูลคินในการวิเคราะห์กำลังของโครงสร้างโบราณสถานที่สร้างขึ้นจากอิฐคินเพาได้

1.5 ขอบเขตของการวิจัย

1.5.1 อิฐที่ใช้ในการวิจัยเป็นอิฐคินเพาจากห้องถินในอำเภอเมือง จังหวัดเชียงใหม่ ขนาดกว้าง $6 \times$ ยาว $15 \times$ หนา 3.5 เซนติเมตร

1.5.2 ใช้มอร์ตาร์ที่มีส่วนผสมของปูนขาวหมักและทรายหยาบ ในอัตราส่วนผสม 1:2 โดยปริมาตร ที่อ้างอิงจากข้อมูลในการสร้างโบราณสถาน

1.5.3 ใช้กรดกำมะถัน (H_2SO_4) ชนิด Commercial Grade ความเข้มข้นร้อยละ 98

1.5.4 ใช้ปูนขาวสดที่ได้จากการเผาปูน (แคลเซียมคาร์บอนेट) ลักษณะเป็นผงสีขาว

1.5.5 ใช้ทรายหยาบหน้าจีดที่ใช้ในงานก่อสร้างทั่วไป

1.5.6 อัตราส่วนความสูงต่อกว้างหนาของปริซึมอิฐก่อจะใช้ประมาณ 3.5 (ใช้อิฐก่อเรียงกันสูง 5 ก้อน)

1.5.7 ทดสอบการเสื่อมสภาพตามธรรมชาติของอิฐในสภาพอากาศตามฤดูกาลของจังหวัดเชียงใหม่ช่วงเดือนตุลาคม พ.ศ. 2552 – เมษายน พ.ศ. 2553 เป็นระยะเวลา 24 สัปดาห์

1.5.8 ทดสอบการเสื่อมสภาพแบบเร่งปฏิกิริยาในสภาพเปียกสลับแห้งเท่านั้น